

des dents, il appartenait à un individu assez vieux. La longueur, depuis la crête occipitale jusqu'au bout des os nasaux, atteint 740 mm.; la même dimension chez *Rhinoceros pachygnatus* adulte de Pikermi est de 730 mm., dépassant la tête de *Rh. Schleiermachi* de Pikermi ¹⁾ (645 mm.) ou celle décrite par K a u p (640 mm.).

L'emplacement des cornes est distinctement montré, l'antérieure par une large convexité au niveau de la moitié antérieure de l'orbite. La ligne du profil monte ensuite lentement jusqu'à la crête occipitale. Les os nasaux sont brusquement inclinés vers le bout; ils soutenaient une corne plus puissante. On n'observe aucune rugosité ni à la surface des nasaux, épais, recourbés sur les bords latéraux, ni sur l'os frontal. Le profil de la tête rappelle plutôt celui du *Rhinoceros* bicorne d'Afrique (C u v i e r. Oss. foos. II 1^{er} part. 1822, pl. IV, fig. 6) et le crâne de Pikermi, figuré par G a u d r y (Pl. XXVII).

La face supérieure de la tête est plane, plus élargie au niveau des apophyses susorbitaires, assez proéminentes, d'où partent deux crêtes qui délimitent la voûte crânienne. Plus tranchantes dans leurs moitiés antérieures, elles se rapprochent jusqu'à une distance de 50 mm., pour s'unir à la crête occipitale. Celle-ci est forte; elle se continue latéralement avec une crête plus tranchante, qui se bifurque au dessus du trou auditif.

Chez *R. pachygnathus* (G a u d r y pl. XXVI, fig. 1, W e b e r, pl. XIV, fig. 1) les os nasaux sont plus courts, plus épais, plus inclinés en avant, montrant un enfoncement assez profond entre les deux insertions des cornes. A ce point de vue il y a une différence aussi entre le profil des os nasaux chez l'exemplaire d'Epelsheim et celui de Pikermi. (Voir W e b e r, fig. 1, 2 dans le texte, p. 492). Notre exemplaire rappelle plutôt le crâne décrit par D u v e r n o y comme *Rh. Sansanensis* (K a u p. l. c. Pl. X). L'orbite commence au niveau du milieu de la seconde molaire, comme chez l'exemplaire de Pikermi et d'Epelsheim. La fosse temporaire a la paroi postérieure plutôt concave. L'arcade zygomatique, plus haute en avant, se retrecit à son bout postérieur. La crête occipitale épaissie est un peu concave au milieu. La face postérieure de l'os occipital est plus large que haute. Le trou auditif n'est pas fermé. Entre l'apophyse paramastoïde, courte et trapue, et le processus postglenoidal, très long et puissant, il y a une marquante séparation, étroite. En avant, la fosse nasale, largement échancrée, se termine au niveau de la seconde prémolaire en place (P³). Le bord supérieur de l'échancrure est largement concave, le bord inférieur horizontal. La partie inférieure du crâne est assez bien conservée. L'espace entre les séries dentaires est très étroit et profond. La cavité palatine se termine au milieu de la seconde molaire; les processus pterygoïdiens sont à une distance de 87 mm. en arrière de la dernière molaire. L'os basal et le sphénoïde forment le long de la moitié postérieure du crâne une crête proéminente qui se prolonge jusqu'à la moitié antérieure de la cavité palatine.

Les dents.

Les deux séries dentaires sont complètes (Pl. IV, fig. 3), (3 P, 3 M); elles sont plus rapprochées en avant qu'en arrière. L'espace entre les faces internes des P² est de 21 mm.; celui entre les dernières molaires de 50 mm. Les dents ne sont pas trop usées; la couronne de M³ est entamée. Aucune des dents ne montre à la face linguale de bourrelet basal ou de tubercule. Seulement les trois prémolaires présentent à la base de leur face antérieure un bourrelet bien distinct.

P³ et P⁴ ont, à la face postérieure, une crête qui ferme la fossette postérieure. Sur les molaires, à la base de leur face antérieure, le bourrelet est aussi assez proéminent.

¹⁾ G a u d r y A. *Animaux fossiles de l'Attique*. Paris 1862.

P^1 manque; (Fig. 31) ni l'alvéole n'est pas conservée.

P^2 est la plus usée. Le protolophe est devenu une île allongée, la vallée moyenne étant ouverte en avant. On y voit une petite crista; la paroi antérieure du metalophe est dentelée.

Chez P^3 , les bouts linguaux des deux crêtes transversales sont unis; la vallée médiane est une île allongée, avec dentelure sur la paroi antérieure du metalophe, de sorte que le crochet n'est pas distinct.

La dentelure de la paroi antérieure du metalophe, dans P^4 , est encore plus manifeste. La fossette postérieure est largement évasée, le protolophe est oblique vers l'arrière.

M^1 est la plus grande. Sa face labiale présente deux crêtes, dont la postérieure est plus proéminente. Le crochet y est court et large; l'antecrochet manque. Crista très peu marquée.

M^2 offre à la face labiale une dépression; la crête postérieure est proéminente. Antecrochet petit; crochet long; crista bien marquée. de metalophe plus étroit est dirigé vers l'arrière. La fossette postérieure, très large, est fermée en arrière par un bourrelet, qui montre un tubercule assez proéminent.

M^3 a une forme triangulaire, à petit crochet oblique; crista assez longue. A la base de la face antérieure, le bourrelet crénelé est proéminent; à la base postérieure un très faible et court bourrelet.

Dentition de lait.

Outre le crâne adulte décrit, se trouve dans la collection un fragment de la mâchoire supérieure droite pourvu des quatre molaires de lait et de la première molaire définitive en alvéole. Je crois que cette série appartient à *Rhinoceros* et non à *Acerotherium*; cela, non seulement du fait des dimensions plus grandes des dents, mais aussi de leur constitution.

De la première dent de lait, n'est conservée que la racine, dans l'alvéole. La seconde est en partie détériorée. Les deux dernières sont à peine entamées par l'érosion. Dans leur ensemble, ils sont presque identiques à celles figurées par G a u d r y (Pl. XXVI, fig. 1) de Pikermi (Pl. I, fig. 7).

Chez la 3-ème et 4-ème dent, l'ectolophe, large, est muni de deux côtes dans la moitié antérieure; (Fig. 32) la postérieure en est plus proéminente ce qui, d'après W e b e r, serait une distinction entre *Rh. pachygnathus* et *Schleiermacheri*. Une crista dans la vallée moyenne manque à la face interne de l'ectolophe, comme chez l'exemplaire de Pikermi, quoique W e b e r mentionne chez ceux de Samos. Les deux crêtes transversales sont nettement dirigées en arrière. Le crochet long, faiblement oblique sur les deux dernières dents, est dirigé, comme Albert G a u d r y l'a figuré, plutôt dans la direction linguale, tandis que, sur les figures de K a u p (Taf. 3), il est oblique en haut, vers l'extérieur de la dent. Il n'y a pas de bourrelet basal sur la face interne des deux dernières dents. Il est assez proéminent et crénelé seulement à la base de la paroi antérieure. Sur la seconde dent, le bourrelet est présent aussi à la base de la face linguale, surtout dans la moitié antérieure.

Probablement, d'après les dimensions, à la même espèce appartiennent quelques molaires inférieures (Fig. 33) à peine sorties de l'alvéole.

Les os du tronc.

La collection comprend une série de quatre vertèbres dorsales (Fig. 34).

Une vertèbre isolée (Fig. 35) appartient probablement à la région lombaire; elle est identique à celle figurée par G a u d r y (Pl. XXIX, fig. 5), montrant un corps massif, long de 77 mm.

Humérus, plus massif que celui d'*Acerotherium*; l'apophyse deltoïdale en est proéminente, et l'épicondyle fort, avec le condyle interne plus massif que l'extérieur. L'épitrachée nulle. Fosse coronoïdienne plus large que haute. À la face postérieure, la fosse olécranienne très profonde et évasée (Fig. 36 et 37).

Un radius droit (Fig. 38), a le corps très peu recourbé, à face antérieure arrondie, et deux facettes presque égales à l'extrémité proximale, pour les condyles de l'humerus; elles sont séparées par une crête mousse, prolongée vers la cavité sigmoïde du cubitus.

L'os est plus long que celui de *Rh. pachygnathus* et de *Rh. Schleiermachi*. Il est même plus long que celui de *Rh. antiquitatis*, mais plus grêle²⁾. Le bord tourné vers le Cubitus montre que les deux os n'étaient pas trop rapprochés.

Du carpe (Fig. 39), ce n'est que le scaphoïde (radiale) qui a été observé; c'est un os massif, plus large que haut, pourvu de bosselures assez saillantes à la face antérieure. Le bord externe est rectiligne, avec un prolongement crochu en haut, et un autre plus court en bas; celui-ci est séparé du corps de l'os par un étranglement profond, qui se prolonge sur la face antérieure. Une apophyse interne sépare les facettes d'articulation pour le semilunaire de celle destinée au grand os. La surface d'articulation pour le radius est assez profonde montrant une large concavité postérieure. Deux facettes inférieures pour le trapezoïde et le grand os, la première plus large; elles sont séparées par une crête assez haute.

Un fémur gauche (Fig. 40, Pl. III, fig. 7) est mieux conservé. La tête grande, le grand trochanter épais. La face antérieure de l'extrémité proximale plate. Une crête assez proéminente marque le bord interne de l'os jusqu'à sa moitié, tandis que le trochanter latéral est long, à bords presque parallèles et l'extrémité recourbée en avant (Fig. 41). Les deux condyles, donc l'interne plus long, sont plus rapprochés que sur celui figuré par G a u d r y (Pl. XXX, fig. 4) l'épicondyle externe plus fort que l'interne. La Trochlée fémorale plus étroite que sur l'exemplaire de Pikermi; la fossette sus-trochléale n'est pas profonde.

Deux rotules (droite et gauche) ont une forme générale ovale; (Fig. 45); une proéminence arrondie, large, sur le bord externe et une autre courte, étroite, terminée en pointe, à l'extrémité inférieure.

La face antérieure, convexe, est très rugueuse; la face articulaire munie de deux facettes inégales, séparées par une crête saillante.

Dimensions:

Longueur	95 mm.
Largeur	83 »
Épaisseur	44 »

Le tibia (Fig. 42—44) présente une section triangulaire du corps, avec une tubérosité antérieure proéminente; celle-ci se prolonge par une crête qui occupe presque toute la longueur de l'os. Les deux autres tubérosités, proéminentes, sont séparées, à la face articulaire, par une épine assez haute, en arrière par l'échancrure poplitée large, profonde. La face distale avec deux facettes inégales, l'interne plus étroite et plus profonde que l'externe, allongée transversalement. La maléole interne est courte, trapue. Le péroné n'est pas séparé du tibia que par un espace trop étroit, étant uni avec lui aux deux extrémités. C'est un os plutôt lamellaire, à bord externe tranchant; l'extré-

¹⁾ A. Portis, l. c. Taf. XX, fig. 13.

Dimensions en millimètres

	I	II	III	IV	V	VI
A) Tête						
Longueur totale . . .	740	640	645	—	670—730	570—600
Distance du bord ant. des os nasaux aux apophyses postorbi- taires du frontal . .	—	—	305	—	210—250	
D. depuis le fond de l'ouv. nas, au bord ant. des os du nez.	2—0	—	152	—	160—210	
D. depuis le fond de l'ouv. nasale jusqu'à l'orbite	—	128	150	135	138—160	120—135
Larg. de la face ocip. à sa partie sup. . .	—	—	160	—	190—210	185—220
Larg. entre les apophy- ses post-orbitaires d. frontaux.	190	—	200	—	290	

	I	II	III	IV	V	VI
Largeur des os nasaux.	180	—	130	— —	140—200	
Largeur maximum en- tre les arcades zygo- matiques	350	—	340			
Distance entre les apo- physe postglenoïdes	140					
B) Dentition de lait.						
d ¹ . L. — l. — h . .	22—18	22,5—20	—	23—75	24—19	
d ² idem	36—35—29	42—35	—	38—29	34—34	32,37—31,36
d ³ idem	44—46—31	45—40	46—50	40—35	39—41	43,51—38,43
d ⁴ idem	48—50—34	51—52	50—45	46—38	45—45	52,58—41,45
Long. série dent. . .	292	245	—	240		
C) Seconde dentition						
P ² L. — l. — h. . . .	35—46—27	35—43	—	39—44	33—38	
P ³ idem	41—60—38	41—56	46—50	40—56	34,40—45,50	39,44—45,56
P ⁴ idem	45—67—45	43—60	—	45—60	38,45—50	45,47—53,59
M ¹ idem	56—76—44	52—62	60—62	54—67	40,55—50	47,51—58,64
M ² idem	61—75,5—52	54—65	62—65	57—71	48,60—50	53,60—49,67
M ³ idem	54—69—46	56—62	—	52—64	50,53—43	50,58—45,57

I. *Rh. Schleiermacheri* de Cimişlia.II. *Rh. Schleiermacheri* d'Epelsheim (Kaup).

III. » » de Pikermi (Gaudry).

IV. » » de Samos (Weber).

V. *Rh. pachygnatus* de Pikermi (Gaudry).

VI. » » de Samos (Weber).

	I	II	III	IV	V	VI
Long. d. corps. d. vert.	700					
Long. vert. lomb. . . .	770					
<i>Humérus.</i>						
Long. mx.	460	—	400	—	380—390	
Larg. mx.	140	—	150	—	165—180	
Larg. mn.	75	—	—	—	84	
Larg. infer.	161	—	160	—	200—210	
<i>Radius.</i>						
L. de la face ant. . . .	373	—	330	—	353	
Larg. sup.	108	—	70	—	115	
» du corps	70	—	50	—	64	
» inf.	100	—	84	—	117	
Radial de dr. à g. . . .	72	—	—	—	87	88
Hauteur du corps	60	—	—	—	68	62
Mc. III. L.	198	—	164	—	156—175	
Larg. max. inf.	59	—	61	—	66—85	78
Mc. II. L.	167	—	154	138	135—153	
L. extr. sup.	56					
L. extr. inf.	56	—	52	—	47—54	55

	I	II	III	IV	V	VI
<i>Fémur.</i>						
Long. (de la tête au condyle interne)	575	—	540	—	495—530	
Larg. mx. sup.	237	—	—	—	220—265	
Larg. mn.	88	—	90	—	86—110	
Larg. mx. inf.	176		155	—	155—160	
<i>Tibia.</i>						
Long. mx.	360	—	350	—	335—390	
Larg. mx. sup.	142	—	126	145	137—140	
Larg. mx. inf.	108(sans Per.)	—	96	125	100—118	
<i>Astragale</i>						
Long.	96,81	86	—	—	80	
Larg. (de droit à g.) . . .	110, 112, 105	—	—	—	83	
<i>Cuboïde</i>						
Larg. de la face ant. . . .	47,42	—	—	47	42	40
Hauteur de cette face . . .	48,53	—	—	53	53	43
Long. total de l'os	71,68	—	—	75	68	62
Mt. III. L.	185	—	160	170	153—175	
Larg. mx. inf.	70	—	52	66	60—70	
Mt. II. L.	157					
l. dist.	54					

EXPLICATION DES PLANCHES

PL. I

Acerotherium incisivum Kaup.

Fig. 1. — Dents de la mâchoire supérieure, d'un individu adulte.

Fig. 2. — Les mêmes, vues de l'extérieur.

Fig. 3. — Mâchoire inférieure d'un individu adulte.

Fig. 4. — La même, vue d'en haut.

Fig. 5. — Dents de lait sup.

Fig. 6. — La mâchoire supérieure d'un individu vieux.

Fig. 7. — Dents de lait supérieures du *Rh. Schleiermachi*.

Localité: Cimişlia, Dep. de Tighina, (Béssarabie) Roumanie. Les exemplaires se trouvent dans la collection du Laboratoire de Paléontologie de l'Université de Bucureşti.

PL. II

Acerotherium incisivum Kaup.

Fig. 1. — Mâchoire inférieure d'un jeune individu.

Fig. 2. — Mâchoire inférieure d'un individu adulte.

Fig. 3. — Membre postérieur droit.

Fig. 4. — Membre postérieur gauche.

Fig. 5. — Fémur vu sur la face postérieure.

Fig. 6. — Fémur vu sur la face antérieure.

Localité: Cimişlia, dép. de Tighina, (Béssarabie) Roumanie. Collection du Laboratoire de Paléontologie de l'Université de Bucureşti.

PL. III

Fig. 1. — Humérus d'*Acerotherium incisivum* Kaup.

Fig. 2. — Cubitus et radius (idem).

Fig. 3. — Portion du bassin (idem).

Fig. 4. — Tibia (idem).

Fig. 5. — Carpe et métacarpe (idem).

Fig. 6. — Faces d'articulations des deux os carpiens (idem).

Fig. 7. — Fémur de *Rh. Schleiermachi* vu de la face antérieure.

Fig. 8. — Tibia (idem).

Localité: Cimişlia dep. de Tighina (Béssarabie), Roumanie. Collection du Laboratoire de Paléontologie de l'Université de Bucureşti.

PL. IV

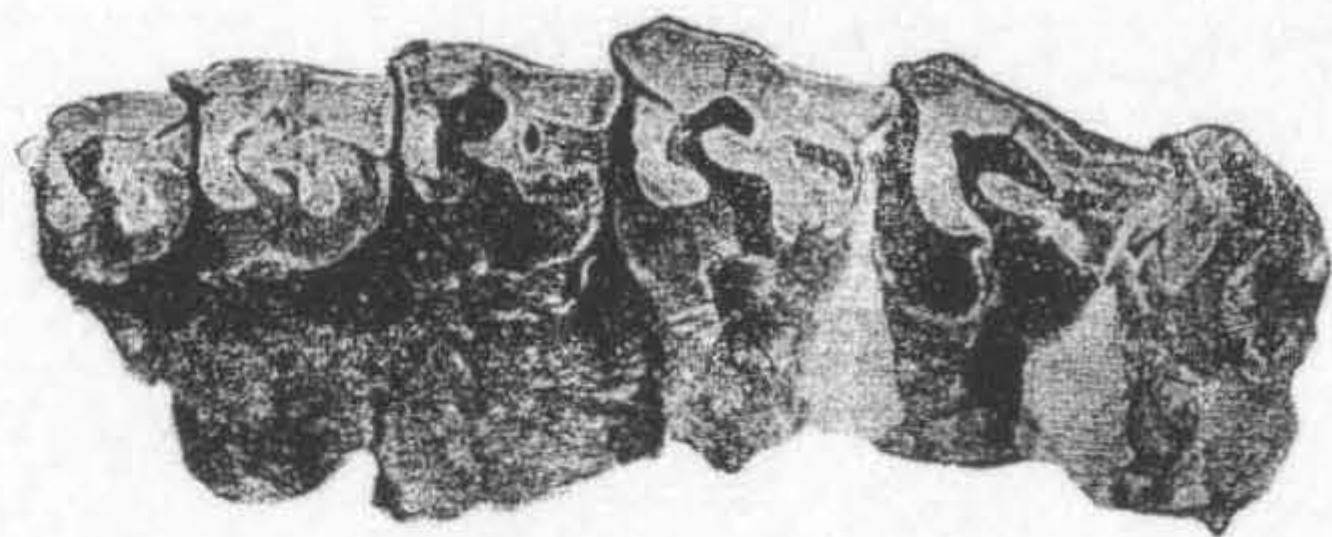
Rhinoceros Schleiermachi Kaup.

Fig. 1. — Crâne.

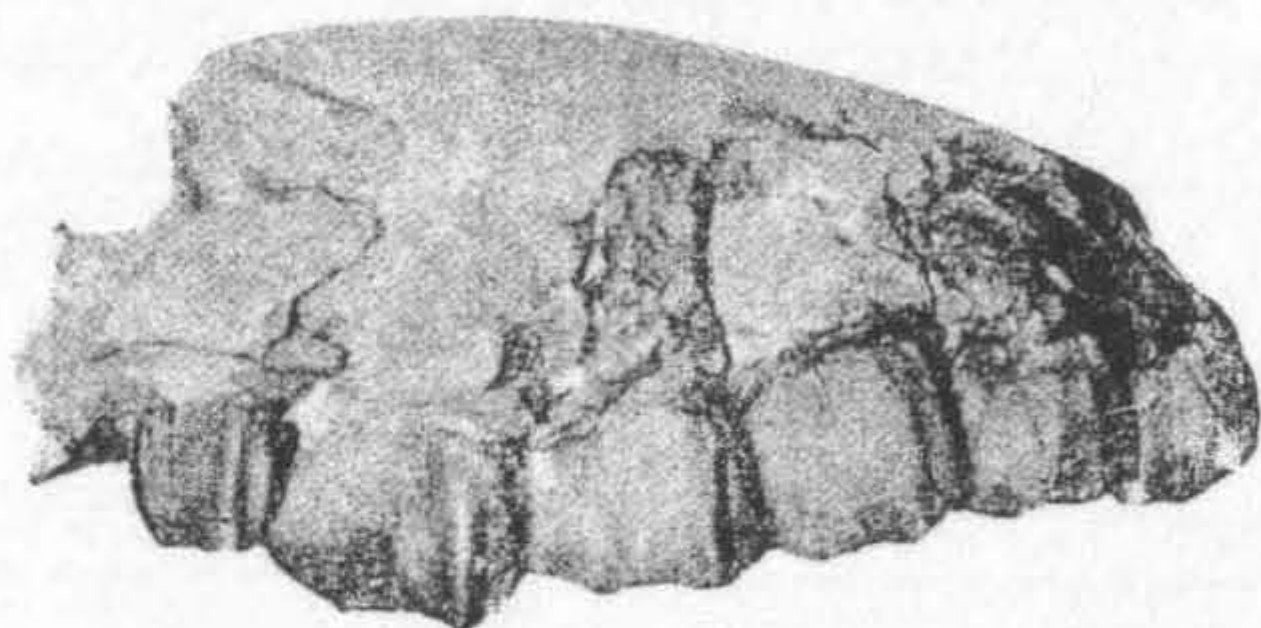
Fig. 2. — Le même vu en dessus.

Fig. 3. — Le même. Dentition.

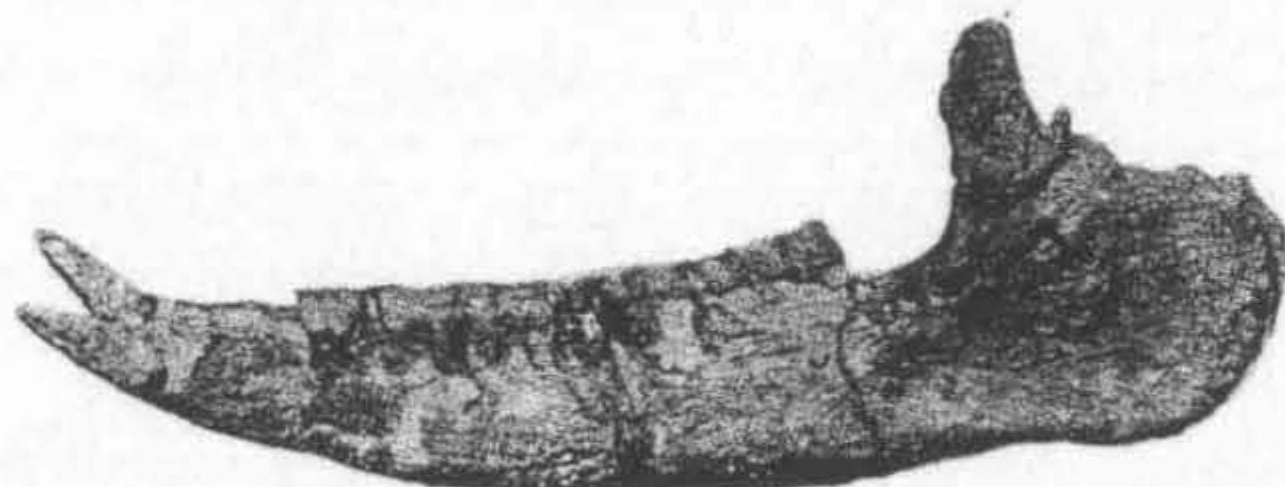
Localité: Cimişlia, dép. de Tighina (Béssarabie), Roumanie. Collection du Laboratoire de Paléontologie de l'Université de Bucureşti.



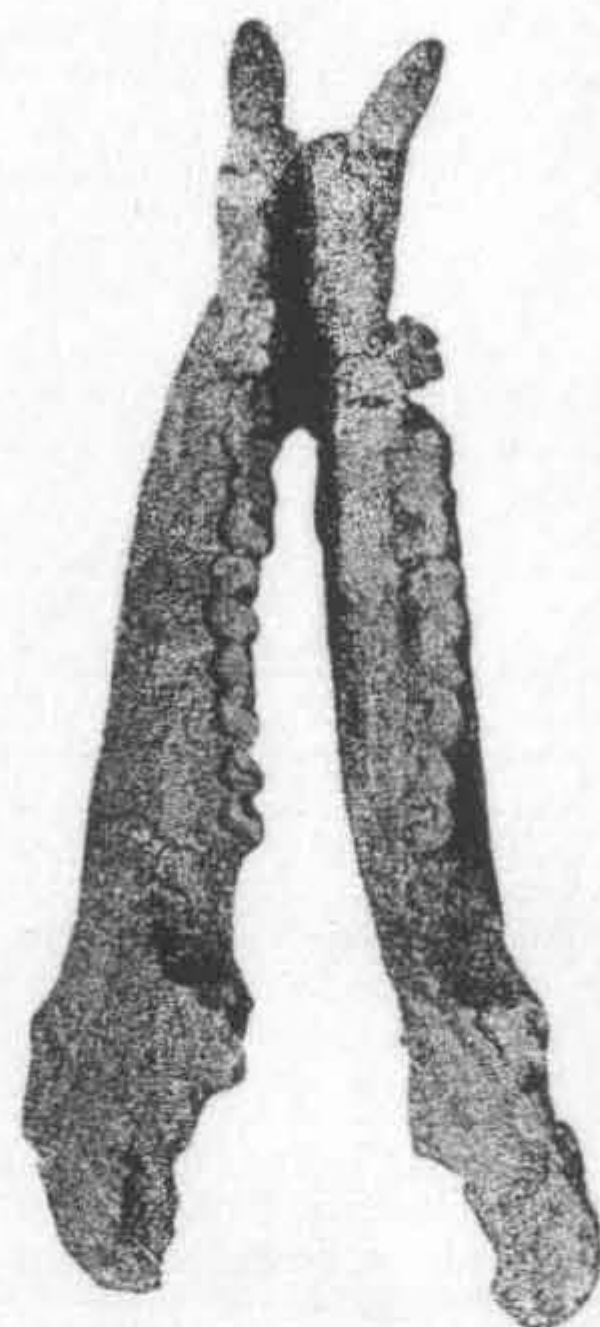
1



2



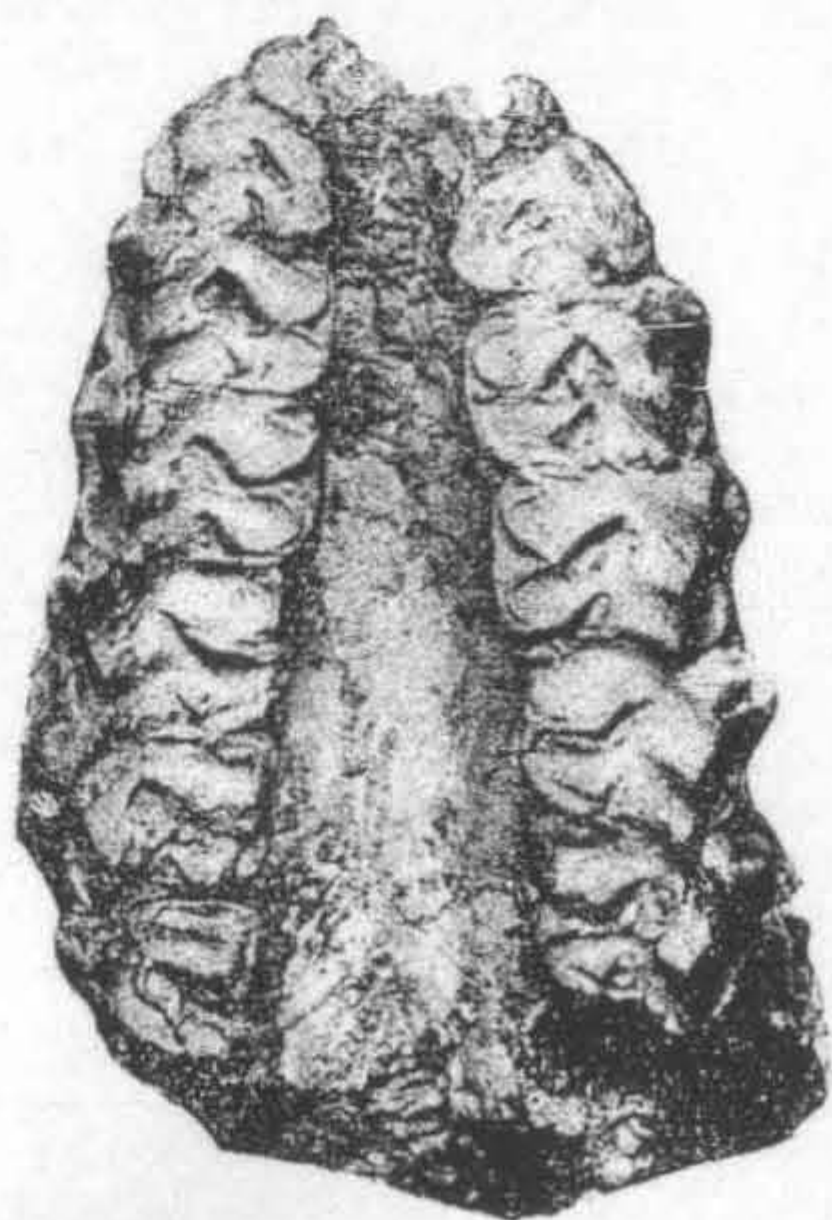
3



4



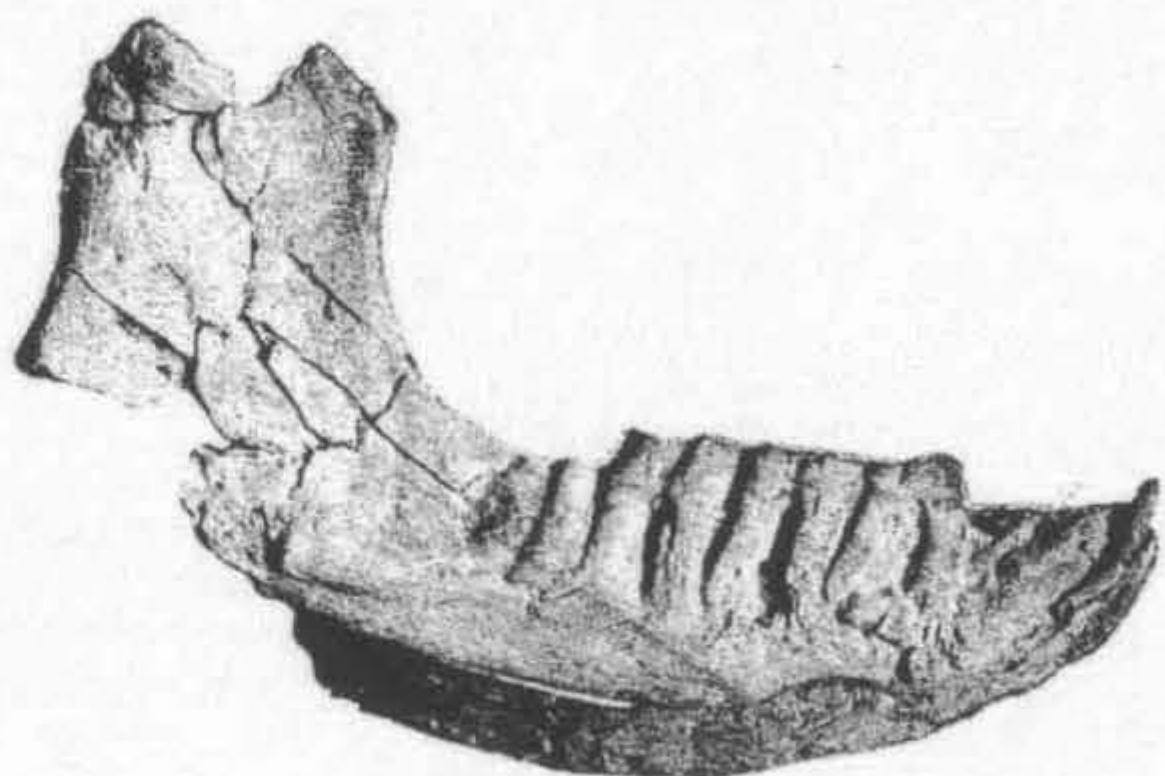
5



6



7



1



4



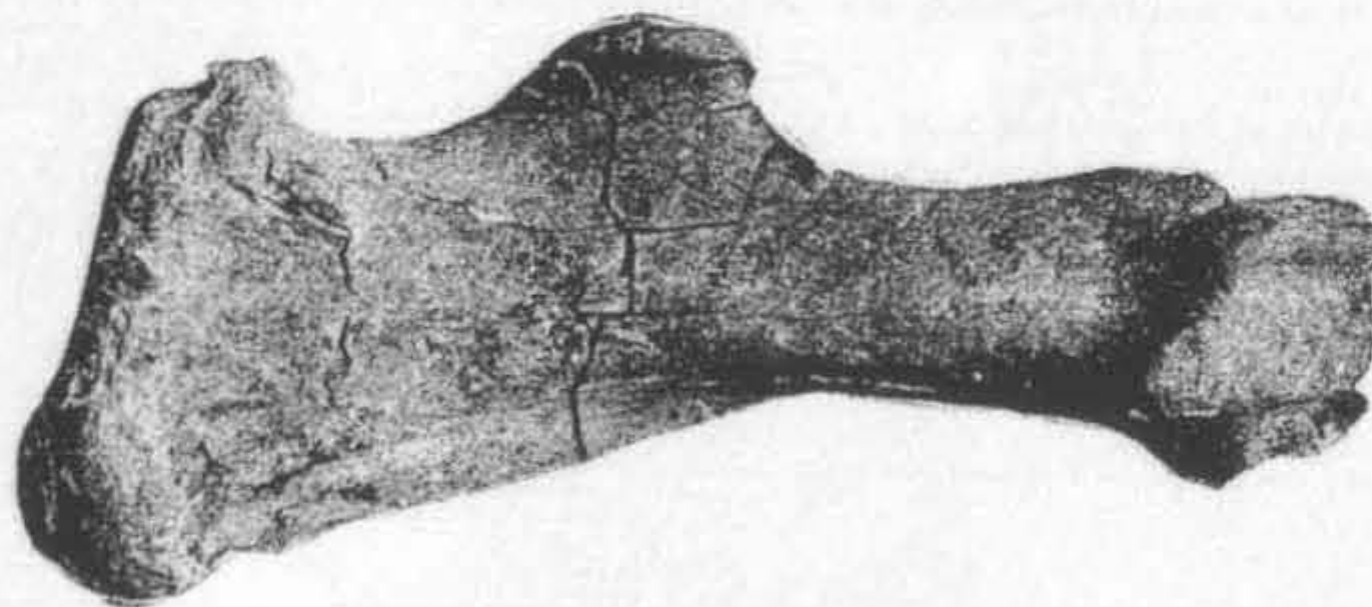
2



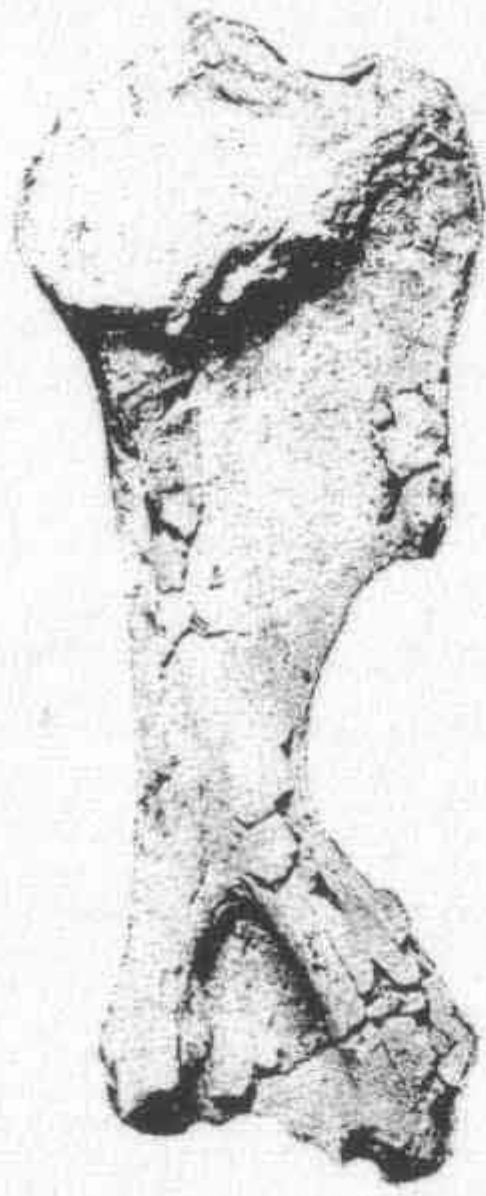
3



5



6



1



7



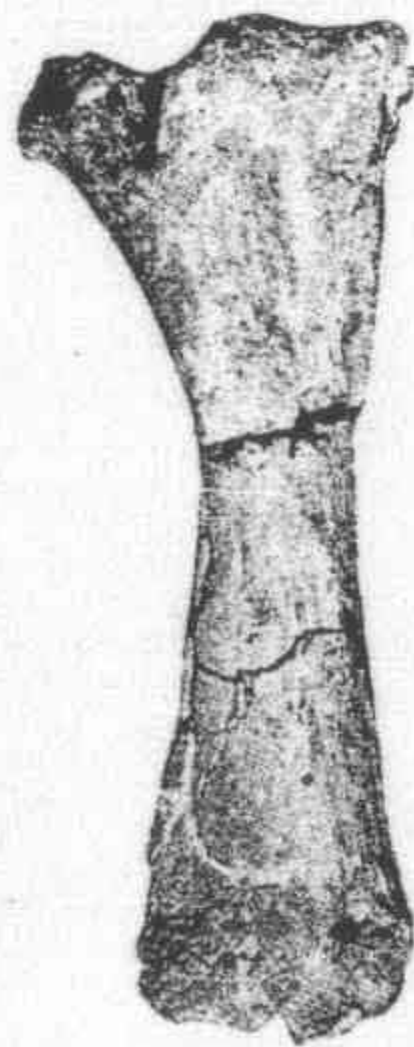
8



2



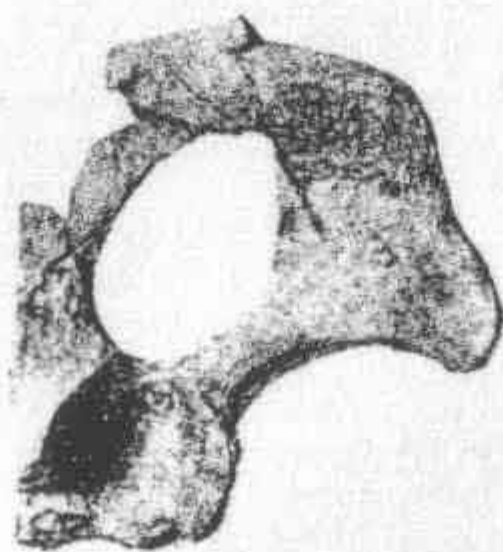
6



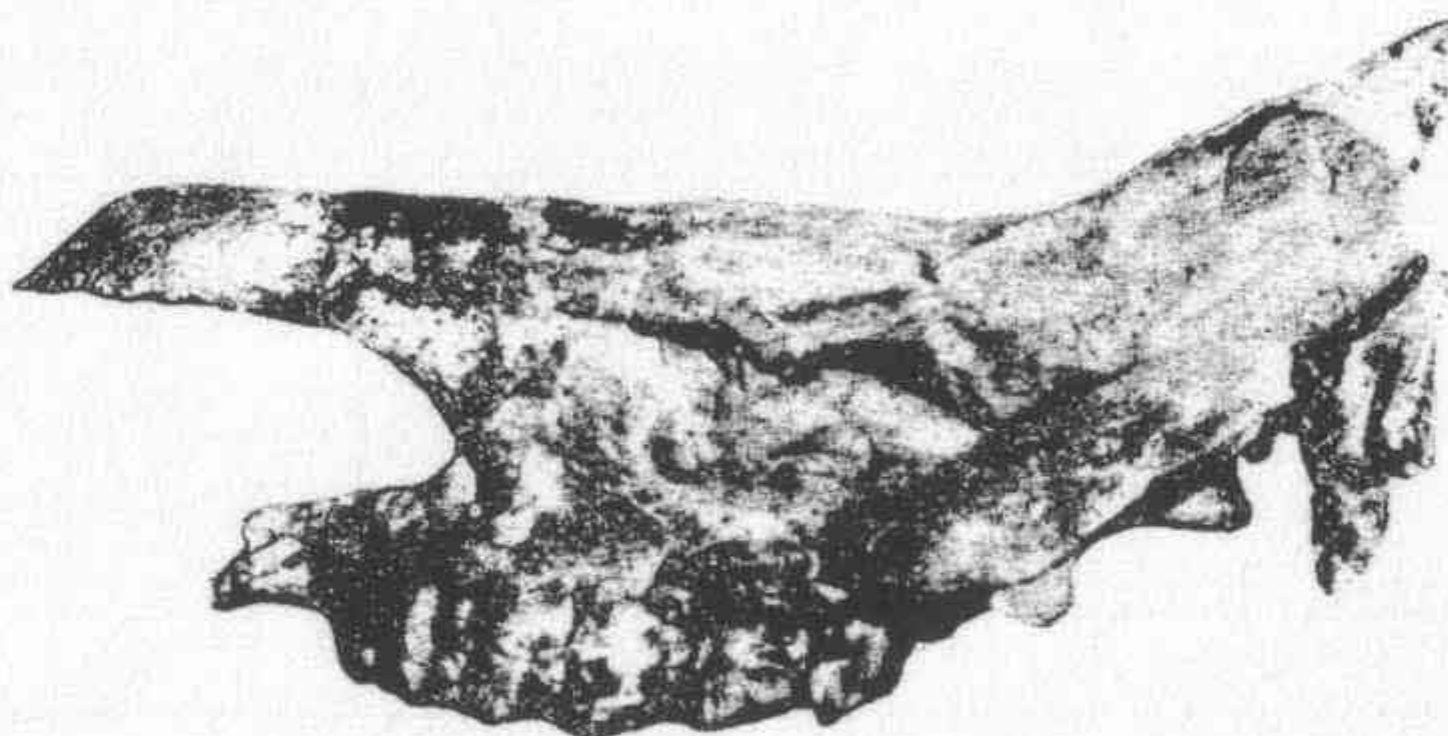
4



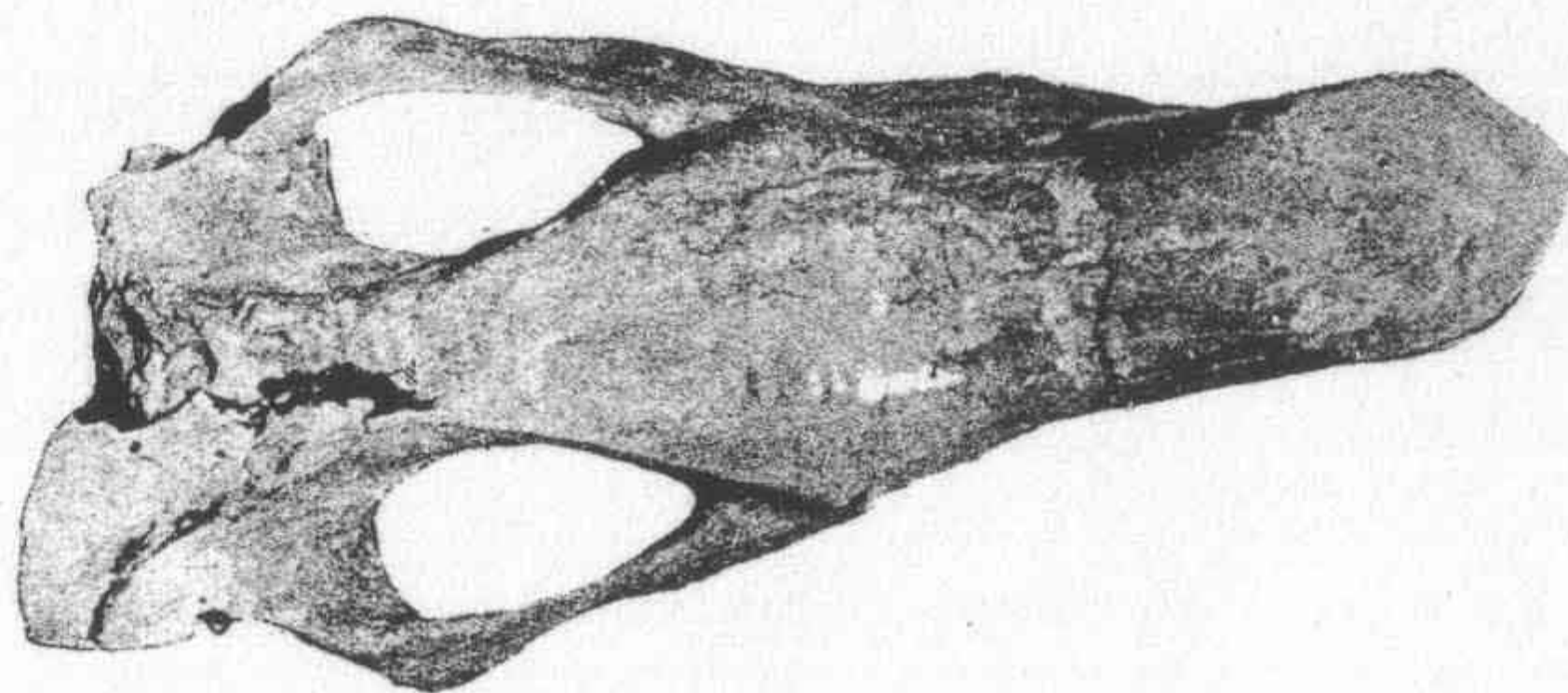
5



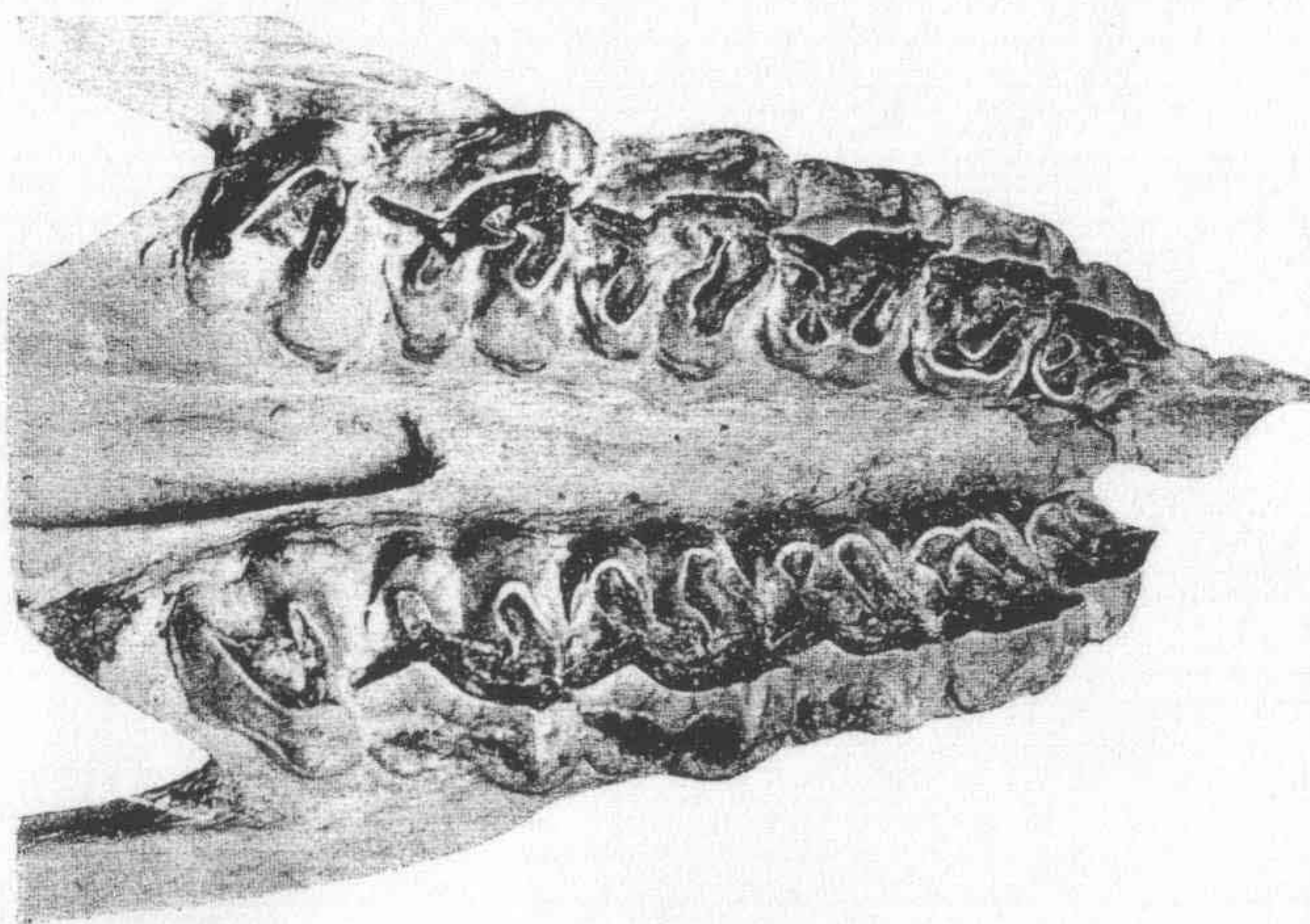
3



1



2



3